

индуцированный неравновесными фононами, представляет собой долговременный хвост на кривой затухания фотогальванического тока после прекращения светового импульса. Интересно отметить, что независимо от способа возбуждения фононов изучение затухания тока, индуцированного фононами в пироэлектрике, является электрическим методом измерения релаксации фононной неравновесности.

### Список литературы

- [1] Белиничев В. И., Стурман Б. И. // УФН. 1980. Т. 130. № 3. С. 415—458.
- [2] Блох М. Д., Энтин М. В. // ФТП. 1982. Т. 16. № 5. С. 822—826.
- [3] Blokh M. D., Entin M. V. // Sol. St. Comm. 1983. V. 45. № 8. P. 717—719.
- [4] Shah J., Leheny R. F., Dayem A. H. // Phys. Rev. Lett. 1974. V. 33. N 14. P. 818—820.
- [5] Зиновьев Н. Н., Ковалев Д. И., Козуб В. И., Ярошецкий И. Д. // ЖЭТФ. 1987. Т. 92. № 4. С. 1331—1350.
- [6] Балтрамеюнас Р., Жукаускас А., Латинис В., Юршенас С. // Письма в ЖЭТФ. 1987. Т. 46. № 2. С. 67—69.
- [7] Физика соединений  $A^2B^6$  / Под ред. А. Н. Георгобиани, М. К. Шенкмана. М., 1986. 330 с.
- [8] Ивченко Е. Л., Пикус Г. Е. // Проблемы современной физики. Л., 1980. С. 275—293.

Новосибирский институт  
инженеров геодезии, аэрофотосъемки  
и картографии

Поступило в Редакцию  
21 октября 1988 г.  
В окончательной редакции  
30 августа 1989 г.

УДК 537.94

© Физика твердого тела, том 32, № 11, 1990  
Solid State Physics, vol. 32, N 11, 1990

## ИССЛЕДОВАНИЕ ФАЗОВОЙ $P-T$ ДИАГРАММЫ КРИСТАЛЛОВ $\{N(CH_3)_4\}_2CoCl_4$ МЕТОДОМ ОПТИЧЕСКОГО ДВУПРЕЛОМЛЕНИЯ

O. Г. Блох, A. B. Китык, O. M. Мокрый

Известно, что кристаллы тетраметиламмония тетрахлорокобальта  $\{N(CH_3)_4\}_2CoCl_4$  (TMATX-Co) при атмосферном давлении обладают последовательностью ряда фазовых переходов (ФП): исходная параэлектрическая фаза (пр. гр.  $P_{man}$ ) —  $T_c = 293.6$  К → несопразмерная фаза с волновым вектором модуляции  $k_0 = 2/5 a^*$  ( $1 + \delta$ ) —  $T_c' = 281$  К → несобственная сегнетоэлектрическая сопразмерная фаза (пр. гр.  $P2_{1}an$ ,  $K_{c_1} = 2/5 a^*$ ) —  $T_c'' = 279.3$  К → несопразмерная фаза  $k_0 = 2/5 a^*$  ( $1 - \delta$ ) —  $T_c''' = 277.5$  К → несобственная сегнетоэластическая сопразмерная фаза (пр. гр.  $P112_1/n$ ,  $k_{c_2} = a^*/3$ ) —  $T_0 = 192$  К → собственная сегнетоэластическая фаза (пр. гр.  $P12_1/a1$ ,  $k_{c_3} = 0$ ) —  $T_m = 122$  К → структурно-модулированная фаза (пр. гр.  $P2_{1}2_12_1$ ,  $k_{c_4} = a^*/3$ ) [1].

В [2] приведено описание фазовой  $P-T$  диаграммы этих кристаллов, полученной при изучении влияния гидростатического давления на аномалии их диэлектрических свойств в области ФП. Авторами работы [2] было показано, что под влиянием давления происходит сужение температурной области сегнетоэлектрической фазы вплоть до ее полного исчезновения при  $P_{k_1} = 45 \div 50$  МПа. Вместе с тем вследствие ограниченной величины прилагаемых давлений (0.1—150 МПа) им не удалось получить на  $P-T$  диаграмме тройную точку, в которой бы исчезала несопразмерная фаза. Подобные точки, как известно, получены недавно для изоструктурных кристаллов TMATX-Zn [3] и TMATX-Mn [4].

Цель настоящей работы — изучение методом оптического двупреломления фазовой  $P-T$  диаграммы кристаллов TMATX-Co в существенно более широкой области гидростатических давлений (0.1—350 МПа).

Кристаллы ТМАТХ—Со выращивались из водного раствора соединений  $\text{N}(\text{CH}_3)_4\text{Cl}$  и  $\text{CoCl}_2$ , взятых в стехиометрическом соотношении, методом медленного испарения при 300 К. Их установка в кристаллографической системе координат осуществлялась рентгеновским методом. Оси выбирались так, что  $b > a > c$ . Вследствие естественной темно-синей окраски образцов исследование двупреломляющих свойств кристаллов ТМАТХ—Со в присутствии гидростатического давления проводилось для синей линии спектра излучения ртути ( $\lambda = 4358 \text{ \AA}$ ) согласно методики [5].

На рис. 1 приведены температурные зависимости приращения оптического двупреломления  $b$ -среза кристалла ТМАТХ—Со, соответствующие различным величинам гидростатического давления  $P = 0.1$  (1), 50 (2), 100 (3), 150 (4), 200 (5), 250 (6), 300 (7), 330 МПа (8). Видно, что при  $P = 0.1$  МПа наблюдаются излом зависимости  $\delta (\Delta n (T))$  в области перехода из паразависимости  $\delta (\Delta n (T))$  в несоразмерную фазу ( $T = T_c$ ), две слабые аномалии  $\delta (\Delta n)$  в окрестности переходов в сегнетоэлектрическую фазу ( $T'_c$  и  $T''_c$ ), а также существенный скачок величины двупреломления при  $T = T_o$ . Под влиянием гидростатического давления аномалии, соответствующие ФП, сдвигаются в высокотемпературную область. Наблюдаемые при высоких давлениях ФП из несобственной сегнетоэластичной, несоразмерной и паразависимой фаз в собственную сегнетоэластическую фазу при  $T_o$ ,  $T'_o$  и  $T''_o$  соответственно (кривые 6—8) характеризуются существенным разворотом оптических индикаторов доменов. Последнее препятствует возможности корректного определения величины оптического двупреломления ниже этих температур. Соответствующие измерения проведены во всех случаях лишь выше указанных температур.

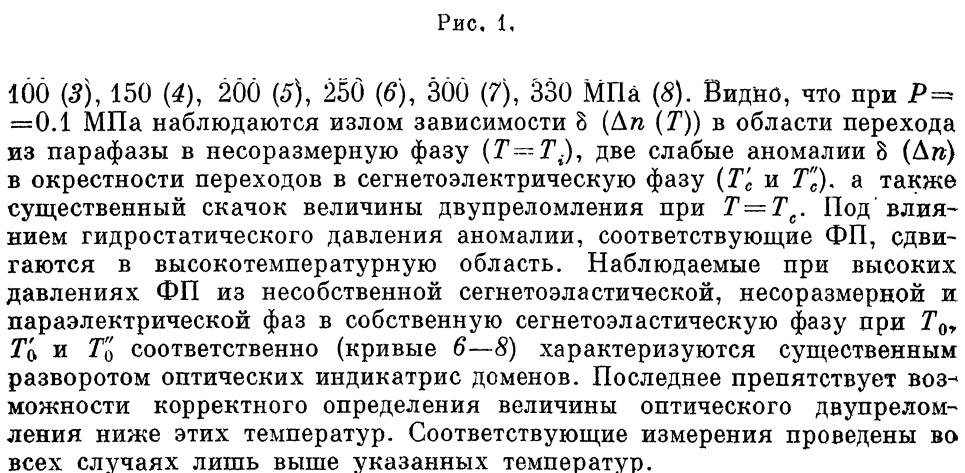


Рис. 1.

На основе исследований получена фазовая  $P-T$  диаграмма (рис. 2). Из этого рисунка видно, что сегнетоэлектрическая фаза кристаллов ТМАТХ—Со под влиянием давления сужается и исчезает на  $P-T$  диаграмме в критической точке с координатами  $P_k = 50$  МПа,  $T_k = 290.5$  К. Линии ФП  $T_o(P)$  и  $T_c(P)$ , ограничивающие на  $P-T$  диаграмме несоб-

ственную сегнетоэластическую фазу, сливаются в тройной точке ( $P_{k_2} = 295$  МПа,  $T_{k_2} = 323$  К) в линию ФП  $T'_0(P)$ . И наконец, несоразмерная фаза исчезает при  $P_{k_3} = 328$  МПа и  $T_{k_3} = 334$  К, где линии ФП  $T'_0(P)$  и  $T_i(P)$  сливаются в линию собственных сегнетоэластических ФП  $T''_0(P)$ .

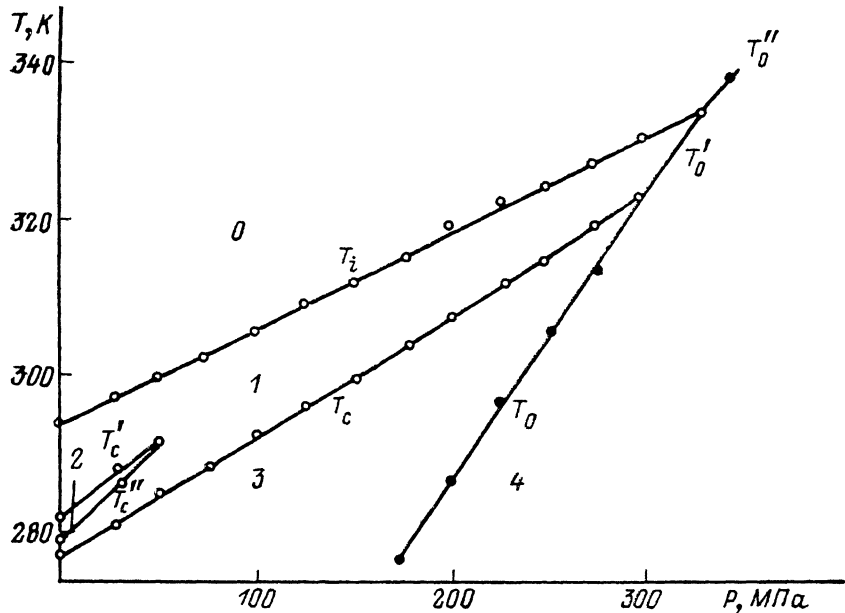


Рис. 2. Фазовая  $P-T$  диаграмма кристалла ТМАТХ—Со.

0 — парафаза, 1 — несоразмерная фаза, 2 — несобственная сегнетоэлектрическая фаза, 3 — несобственная сегнетоэластическая фаза, 4 — собственная сегнетоэластическая фаза.

В заключение следует отметить, что полученная в настоящей работе фазовая  $P-T$  диаграмма для кристаллов ТМАТХ—Со по виду подобна диаграммам кристаллов ТМАТХ—Zn и ТМАТХ—Mn. Такое сходство, по-видимому, свидетельствует об общем механизме ФП в кристаллах этой группы.

#### Список литературы

- [1] Mashiyama H., Hasebe K., Tanisaki S. // J. Phys. Soc. Jap. 1980. V. 49. Suppl. B. P. 92—94.
- [2] Shimizu H., Kokubo N., Yasuda N., Fujimoto S. // J. Phys. Soc. Jap. 1980. V. 49. N 1. P. 223—229.
- [3] Yonekawa S., Mashiyama H., Tanisaki S. // J. Phys. Soc. Jap. 1986. V. 55. N 1. P. 431—432.
- [4] Gesi K. // Ferroelectrics. 1986. V. 66. N 1. P. 269—286.
- [5] Влох О. Г., Китык А. В., Грибик В. Г., Мокрый О. М. // ФТТ. 1988. Т. 30. № 8. С. 2554—2556.

Львовский государственный университет  
им. И. Франко

Поступило в Редакцию  
5 сентября 1989 г.